

$A(\mu)$

Al_x

$x = 5, 9, 25$

Kb. Mex.
paeris

Wessner R. P.

1976

"Int. J. Quantum
Chem. Symp" 1976,
N¹⁰, 183-191

(au. O₃; $\frac{\text{III}}{\text{I}}$)

OTRICA 8505

1979

Al₇
Si₅H₁₂
P₄
Kb. week,
peacer

(+2)

C.H.154991N18

91: 146236g Use of X α SW calculations for parametrizing the CNDO method for the heavier elements. II. Tests for the elements aluminum to sulfur. Head, J. D.; Mitchell, K. A. R. (Dep. Chem., Univ. British Columbia, Vancouver, BC Can. V6T 1W5). *Can. J. Chem.* 1979, 57(14), 1826-38 (Eng). In Part I (1978) authors used results from the X α scattered wave (X α SW) method for guiding the parametrisation of the CNDO (CNDO) method for clusters of Ag, and proposed the extension of this approach to other heavier elements for which CNDO schemes are not well developed. This approach is tested for the elements Al to S for which more information is available. X α SW calcns. were made for the mol. clusters Al₇, Si₅H₁₂, and P₄, and comparisons made with expt. and with other calcns. The charge distributions and transition-state energies, along with information obtained previously for S₈ by D.R. Salahub *et al.*, (1977) were used to derive new parameters (designated CNDO/HM) for the elements Al to S essentially following the procedure in Part I. Calcns. using these parameters were tested against an X α SW calcn. made here for an Al₁₀ cluster (which simulates the (111) surface of Al), and against other calcns. made previously for P₈, P₄S₃, SiH₄, PH₃, H₂S, and SO₂. Comparisons are also made with results from the CNDO/2 scheme. Generally the CNDO/HM procedure seems at least as successful as CNDO/2.

OENMULKA 8505

отмечено 8505

1979

Al₇
Al₁₀

1 Б8. Использование $X\alpha$ -РВ-расчетов для параметризации метода ППДП применительно к тяжелым элементам. II. Контрольные расчеты для элементов от алюминия до серы. Head J. D., Mitchell K. A. R.

Use of $X\alpha$ SW calculations for parametrising the CNDO method for the heavier elements. II. Tests for the elements aluminium to sulphur. «Can. J. Chem.», 1979, 57, № 14, 1826—1838 (англ.)

На основе расчетов электронного строения ряда молекул и кластеров, содержащих атомы Al, Si, R и S методом ССП- $X\alpha$ рассеянных волн ($X\alpha$ -РВ) проведена параметризация метода ППДП для этих элементов. Расчеты $X\alpha$ -РВ кластеров Al₇, Al₁₀, Si₅H₁₂ и P₄ выполнены в рамках модели перекрывающихся атомных сфер. Для молекулы S₈ использованы данные проведенного ранее $X\alpha$ -РВ-расчета. Зарядовые распределения и энергии ионизации валентных MO, рассчитанные методом $X\alpha$ -РВ в приближении переходного состояния, использованы для получения новых параметров метода ППДП в рамках метода параметризации, пред-

(+9) (2)

Х. 1980. № 1

См. на обратной

ложенного, а нее авторами («Mol. Phys.», 1978, 35, 1681). С использованием новых параметров методом ППДП, а также стандартных методом ППДП/2, рассчитано электронное строение молекул P_8 , P_4S_3 , SiH_4 , PH_3 , H_2S и SO_2 . Полученные результаты сопоставлены с даными расчетов методом $X\alpha$ -РВ. Анализ полученных результатов позволил сделать вывод о том, что для простых молекул, содержащих атомы Al, Si, P и S и элементы первого периода, новая параметризация приводит к результатам, не хуже, чем стандартная схема ППДП/2. Для соединений элементов 3-го периода в рамках модифицированного на основе $X\alpha$ -РВ-расчетов метода ППДП можно получить результаты, лучше согласующиеся с экспериментом и др. теор. расчетами, чем данные расчетов методом ППДП/2.

И. А. Тополь

доктор
чни

Ref. 129371 1981

Fly

Quinn Ch. ll., et al.

E;

J. Chem. Phys., 1981, 74,
N9, 5781-5785.

($\text{Cu}^{+2}\text{Al}_2$; 11)

Al₂

E_j

t3

(orr. 12932)

1981

1 Д147. Энергии связи электронов остова в теории самосогласованных молекулярных орбиталей с использованием комбинаций электронов из оболочек реальных атомов и валентных электронов модельных атомов. Core-electron binding energies from self-consistent field molecular orbital theory using a mixture of all-electron real atoms and valence-electron model atoms. Quinn Charles M., Schwartz Maurice E. «J. Chem. Phys.», 1981, 74, № 9, 5181—5185 (англ.)

Описан метод расчета энергий связи электронов остова для молекул Al_3 , Al_4 , AlNO и OAl_3 . В качестве расчетного метода применялся модифицированный метод ССП МО ЛКАО с использованием гауссовых ат. орбиталей. Табличный материал работы содержит численные значения энергий связи для некоторых МО рассматриваемых молекул. Для Al приведены параметры модельного потенциала, а также табулированы значения коэф. разложения базисных функций.

В. Г. Пальчиков

Ф. 1982, 18, № 1.

Omnuck 12937] 1981
Al₂,
Al₃, Quinn Ch. N., Schwartz
Al₄ M.E.,

zirconia cage,
Kb. Mex.
pacem

J. Chem. Phys., 1981,
74(9), 5181-5185.

fl₂

зариск 12937

1981

*Энергии
связи*

(+1)

1 Б19. Энергии связи остовных электронов в теории молекулярных орбиталей самосогласованного поля с использованием реальных атомов со всеми электронами и модельных атомов с валентными электронами. Quinn Charles M., Schwartz Maurice E. Co-electron binding energies from self-consistent field molecular orbital theory using a mixture of all-electron real atoms and valence-electron model atoms. «J. Chem. Phys.», 1981, 74, № 9, 5181—5185 (англ.)

Разработан вариант метода ССП МО ЛКАО, использующий приближение модельного потенциала для одних атомов в системе и рассматривающий остальные атомы при полном учете их электронов. Для тех атомов, в к-рых необходимо знать энергии связи остовных электронов, используются реальные заряды ядер и соответствующие многоэлектронные базисы. Для остальных атомов вводятся редуцированные заряды ядер, модельный потенциал, описывающий взаимодействие валентных электронов с остовом, и валентные базисы. На примере моле-

X. 1982, 1946, N1. AcNO

кулы Al_2 исследованы приближения: учет всех электронов, 1 атом реальный — 2 атом модельный и 2 модельных атома. Для каждой из рассмотренных моделей исследовалась зависимость вычисляемых величин от базисов. Показано, что результаты всех 3 модельных расчетов хорошо согласуются между собой. На примерах расчетов энергий связи остовных электронов относит. полных энергий и др. молек. характеристик молекул Al_2 и AlNO , проведенных с учетом всех электронов и в смешанном приближении, показано, что комбинация реальных атомов и модельных атомов с валентными электронами в методе ССП МО ЛКАО позволяет правильно описать изменение относит. полных энергий, орбитальной энергии МО, заселенности МО и энергии ионизации остовных уровней, включая релаксац. эффекты.

И. А. Тополь

и
о
чно-

Al_3

[Or. 12532]

1981

Quinn Ch. et al.

J. Chem. Phys., 1981, 74,

E; N9, 5781-5785.

(ccs. Al_2 ; III)

Al₃

Lommel 12816 | 1981.

Al₄

Schwartz M.E.
et al.

Rb-dec.
faces

Surface Science,
1981, 106, 258-264

Al_x

Lorr. 12816

1981

Schwartz M. E., et al.

Surface Sci., 1981, 106,

copper-
mica

N1-3, 258-264.

(c.c. Al₂; II)

Al-knacērre

Om. 15840

1982

97: 133859m Generation of continuous beams of refractory metal clusters. Riley, S. J.; Parks, E. K.; Mao, C. R.; Pobo, L. G.; Wexler, S. (Chem. Div., Argonne Natl. Lab., Argonne, IL 60439 USA). *J. Phys. Chem.* 1982, 86(20), 3911-13 (Eng). Generation of continuous beams of clusters of refractory metals by a thermal quench flow source is described. The source consists of a high-temp. (up to 2000°) oven for metal vaporization and a liq.-nitrogen-cooled quench cell for condensation and cluster growth. Various flow gases are used to vary the distribution of clusters produced. The operation of the source and the characterization of cluster beams of Al, Cr, Ni, Cu, and Ag are discussed.

AMORPHIC

temp. 2000°
platinum

(f4) ⊗

C.A. 1982, 97, N 16

fln

1983

Fayet P., Stein G.,
et al.

PLACE
EREKIMP.
UCCREG.
CINADJULG-
HOEMU
EMPYKIM.

Proc. Int. Ion Eng.
Congr. 1983, 3, 1925-7.

(Cer. Agn; III)

Aly

Klaczek

f=3-5

Xenobass,
meknion.
corycyna

Um. 16950

1983

Pacchioni G., Plassic D.,
et al.

Ber. Bunsenges. phys.

Chem., 1983, 87, N6,
503-512.

Al_n

(n=3-5)

анектиро-
снуюсь па,
зональные

[Om. 19027]

1984

Pacchioni F., Koutecky J.,

Ber. Bunsenges. Phys.

Chem., 1984, 88, N3, 242-

245.

Al_3

[Om. dd 396]

1985

Howard G.A., Sutcliffe,
et al., R;

зеленый
РУССКАЯ
спекция
в магните

J. Phys. Chem., 1985,
89, N^o 17, 3595- 3598.

1985

Fly

Koutecký J., Pacchioni G.,
et al.

Surface Sci., 1985, 156, N^o:
Snowfall Part. and Inorg.

Clusters. Proc. 3 Int. Meet.,
Berlin (West), 9-13 July, 1984,
Pt 2, 650-669.

(Ces. LIV; III)

Zelený
empyklon.

Al_n

1986

Choi et al., Cohen
Marvin Z.

Се́ргук.

Фе́ликс.

обо́вь

Phys. Lett., 1986,
A113, N 8, 420-424.

(See. Na_n; III)

Al_n

n = 5, 9, 13

1986

' 105: 197412b Electronic structure and bonding in clusters: theoretical studies. Hermann, K.; Hass, H. J.; Bagus, P. S. (Inst. Theor. Phys., Tech. Univ. Clausthal, Clausthal/Göttingen, Fed. Rep. Ger.). *Z. Phys. D: At., Mol. Clusters* 1986, 3(2-3), 159-66 (Eng). The electronic structure was studied of small Al_n, $n = 5, 9, 13$, clusters with bulk geometry by using the ab initio Hartree-Fock-LCAO method. The cluster ground states have always multiplicity higher than the lowest possible value. However, the energy difference between ground and lowest low spin state decreases with increasing cluster size. The energy range of the Al_n cluster valence levels is comparable with the width of the occupied part of the 3 sp band in bulk Al. The different binding mechanisms that arise when a CO mol. interacts with Al_n clusters in different coordination sites are analyzed in detail with the constrained space orbital variation (CSOV) method. Electrostatic and polarization contributions to the interaction are important. Among charge transfer (donation) contributions π electron transfer from Al_n to CO corresponding to π backbonding is energetically more important than σ electron transfer from CO to Al_n characterizing the σ bond.

(meop. sacrem)

C.A. 1986, 105, N 22

Aln

n=2

(Am 24396)

1986

Koutecky J., Fantucci P.,

неопем.

pacрем

смрукм.

и энгрем.

Chem. Rev., 1986, 86,
N 3, 539-587.

Al_n

1986

cmykmyqa,
g, Ac

105: 30400j Structural, electronic, and chemisorption properties of small aluminum clusters. Upton, T. H. (Corp. Res.-Sci. Lab., Exxon Res. and Eng. Co., Annandale, NJ 08801 USA). *Phys. Rev. Lett.* 1986, 56(20), 2168-71 (Eng). The results of total-energy calcns. for optimized structures of Al_n ($n = 2-6$) and Al_nH_2 are presented, in which properties are at variance with the predictions of the electronic-shell model. These differences are understood by the introduction of at. potentials as a perturbation on the shell model. Ionization energies (5.8-6.6 eV) and electron affinities (0.1-2.1 eV) are mostly larger than for an Al atom. Bond lengths increase from 2.51 to 2.81 Å. Al_6 is the smallest cluster that will absorb H_2 .

⑦ ⑧

$Al_n H_2$ $n=2 \div 6$ (meop. facrem)

C.A. 1986, 105, NY

Al_3^+

1987

Basch Harold.

Chem. Phys. Lett.,

v.n.

1987, 136, N3-4,

289 - 293.

(ccs. Al_3 ; --^{II})

Al₃

1987

20 Б1036. Электронные состояния Al₃. The electronic states of Al₃. Basch Harold. «Chem. Phys. Lett.» 1987, 136, № 3—4, 289—293 (англ.)

Для кластеров Al₃, а также ионов Al₃⁺ и Al₃⁻ выполнен расчет геометрич. и электронных состояний методом ССП в двухэкспонентном гауссовском базисе с поляризац. ф-циями. Остовные электроны атомов Al учтены в приближении эффективного потенциала. Показано, что Al₃⁺ и Al₃⁻ имеют почти D_{3h} — симметрию, а нейтральный тример характеризуется эквивалентной треугольной геометрией. Определены основные электронные состояния Al₃, Al₃⁺ и Al₃⁻, которые не согласуются с полученными при интерпретации спектров ЭПР.

А. А. Вашман

(+2) 10

X. 1987, 19, N 20

Al₃

1987

Al₃⁺, Al₃⁻

5'20 Б1036. Электронные состояния Al₃. The electronic states of Al₃. Basch Nagold. «Chem. Phys. Lett.», 1987, 136, № 3—4, 289—293 (англ.)

Для кластеров Al₃, а также ионов Al₃⁺ и Al₃⁻ выполнен расчет геометрич. и электронных состояний методом ССП в двухэкспонентном гауссовском базисе с поляризац. ф-циями. Остовные электроны атомов Al учтены в приближении эффективного потенциала. Показано, что Al₃⁺ и Al₃⁻ имеют почти D_{3h} — симметрию, а нейтральный тример характеризуется эквивалентной треугольной геометрией. Определены основные электронные состояния Al₃, Al₃⁺ и Al₃⁻, которые не согласуются с полученными при интерпретации спектров ЭПР.

А. А. Вашман

М.Н.

X.1987, 19, N 20

Al_3^+

Al_3 , Al_3^-

(M. 26445)

1987

107: 65103h The electronic states of triatomic aluminum
Basch, Harold (Dep. Chem., Bar-Ilan Univ., 52100 Ramat-Gan,
Israel). *Chem. Phys. Lett.* 1987, 136(3-4), 289-93 (Eng.).
The electronic and geometrical structural properties of Al_3^+ , Al_3 and Al_3^- were investigated using an ab initio CAS MC-SCF method in a double-zeta plus polarization Gaussian basis set. The ten valence electrons of each Al atom were replaced by an accurate compact effective core potential. Al_3^+ is predicted to be linear and Al_3 is calcd. to have near- D_{3h} symmetry. The neutral trimer has a near-equilateral triangle static geometry. The electronic ground states of Al_3^+ and Al_3^- are both predicted to be relatively unreactive 1A_1 closed-shell species. Al_3 is calcd. to have a 2A_1 ground state, in disagreement with recent interpretations of ESR spectra in matrix isolation as favoring a spin-quartet ground state.

M. cmrykmypa,
2011emp. cmrykr,
meop. parrem

c. A. 1987, 107, n8

Aln

ОМ 27732

1987

5 Б1027. Малые кластеры Al. I. Влияние базиса и корреляции на геометрию малых кластеров Al. Small Al clusters. I. The effect of basis set and correlation on the geometry of small Al clusters. Bauschlicher C. W., Jr., Pettersson L. G. M. «J. Chem. Phys.», 1987, 87, № 4, 2198—2204 (англ.)

Методом ССП и конфигурац. взаимодействия (КВ) рассчитаны длины связи (ДС) и энергии атомизации (ЭА) кластеров Al_2 и Al_4 (ромбич. конфигурация). Аналогичные расчеты в приближении ССП проведены для плоского кластера Al_{13} . Исследовано влияние на ДС и ЭА расширения базиса и степени учета корреляц. эффектов. Для Al построен эффективный оставной Пт, позволяющий воспроизвести данные расчетов с учетом всех электронов. Для всех исследованных кластеров показана важность учета в базисе поляризац. *d*-ф-ций. В приближении ССП учет *d*-ф-ций приводит к уменьшению на 0,2 ат. ед. ДС Al—Al и увеличению ЭА (приходящейся на 1 атом) на 0,25 эВ. Учет корреляции оказывается в малом уменьшении длины связи, но в сильном увеличении ЭА. Увеличение ЭА и уменьшение

Х. 1988, 19, NIS

длины связи при учете электронной корреляции практически не зависят от числа d -ф-ций в базисе.

И. А. Тополь

ости
ход

1987

Al₂

($a^3\Pi_u$)

№ 2 Д 118. Точные неэмпирические расчеты, которые демонстрируют основное состояние $a^3\Pi_u$ для Al₂. Accurate ab initio calculations which demonstrate $a^3\Pi_u$ groung state for Al₂. Bauschlicher Charles W., Jr., Partridge Harry, Langhoff Stephen R., Taylor Peter R., Walch Stephen P. «J. Chem. Phys.», 1987, 86, № 12, 7007—7012 (англ.)

Рассчитаны спектроскопич. параметры и расщепления между тремя низколежащими состояниями $X^3\Pi_u$, $A^3\Sigma_g^-$ и $a^1\Sigma_g^+$ молекулы Al₂. Корреляция электронов учитывалась в рамках полного КВ (ПКВ) расчета в двухэкспонентном базисе с двумя d -ф-циями. Поскольку расщепление $^3\Pi_u$ — $^3\Sigma_g^-$, рассчитанное методом ПАП ССП/НИК КВ, хорошо согласуется со значением, полученным в рамках ПКВ, расчеты указанным методом проведены в расширенном гауссовом базисе. При включении небольшой поправки на релятив. эффекты получено, что состояние $^3\Sigma_g^-$ лежит на 174 см⁻¹ вы-

сф. 1988, 18, № 2

ше основного состояния ${}^3\Pi_u$. Состояние ${}^1\Sigma_g^+$ лежит по крайней мере на 2000 см^{-1} выше по энергии. Расчеты в приближении функционала связанных пар при включении $2s$ - и $2p$ -корреляции дают небольшую поправку к D_e , уменьшают T_e только на 26 см^{-1} и укорачивают длины связи на $\sim 0,02 a^0$. Эксперим. спектры поглощения также подтверждают, что основное состояние ${}^3\Pi_u$. Найдено, что это состояние чувствительно к уровню учета корреляционных эффектов.

Н. В. В.

енни

Al₂

1987

5 Б1021. Точные неэмпирические расчеты, свидетельствующие, что основным состоянием Al₂ является $^3\Pi_u$. Accurate ab initio calculations which demonstrate a $^3\Pi_u$ ground state for Al₂: Bauschlicher Charles W., Jr., Partidge Harry, Langhoff Stephen R., Taylor Peter R., Walch Stephen P. «J. Chem. Phys.», 1987, 86, № 12, 7007—7012 (англ.)

Исследована зависимость спектроскопич. постоянных низших электронных состояний $^3\Pi_u$, $^3\Sigma_g^-$ и $^1\Sigma_g^+$ молекулы Al₂, коррелирующих с основным состоянием $^2P(3s^23p^1)$ атома Al, от расширения орбитального и конфигурац. базисов в методе конфигурац. взаимодействия (КВ). При полном учете КВ рассматривалась корреляция 6 валентных электронов с использованием двухэкспонентного базиса сгруппированных гауссовых ф-ций, дополненного двумя поляризац. d -ф-циями. Результаты получены в рамках многоконфигурац. метода ССП в полном активном пространстве с последующим учетом КВ с несколькими исходными конфигурациями

М.Н.

Х. 1988, 19, N5

при использовании различных базисов — вплоть до $(20s13p6d4f/[6s5p3d2f])$. При определении энергий состояний учитывались релятивистские поправки. Найдено, что состояние ${}^3\Sigma_g^-$ лежит выше на 174 см^{-1} основного состояния ${}^3\Pi_u$. Состояние ${}^1\Sigma_g^+$ расположено на 2000 см^{-1} выше основного. Рассчитанная энергия диссоциации $D_0({}^3\Pi_u)$ составила $1,55 \pm 0,15 \text{ эВ}$. Длина связи Al_2 сильно зависит от базиса, но мало чувствительна к степени учета корреляц. эффектов. На основании результатов расчетов интерпретирован эксперим. спектр поглощения Al_2 .

И. А. Тополь

П;
рные
он

fl₁₃

1987

108: 11441u Energetics of aluminum (Al_{13}), copper (Cu_{13}) and nickel (Ni_{13}) clusters of various symmetries. Elsasser, C.; Fahnle, M.; Brandt, E. H.; Bohm, M. C. (Inst. Phys., Max-Planck-Inst. Metallforsch., 7000 Stuttgart, 80 Fed. Rep. Ger.). *J. Phys. F: Met. Phys.* 1987, 17(11), L301-L304 (Eng). The stability was studied of Al_{13} , Cu_{13} and Ni_{13} clusters of various symmetries by a semiempirical self-consistent Hartree-Fock approach based on an INDO-type Hamiltonian. Authors have compared fcc., hcp., and icosahedral structures as well as an amorphous model. The calcd. energy min. always correspond to the icosahedral arrangement.

*meopem
paciem
cmasun64*

42 Al_{13} , Cu_{13} , Ni_{13}

c.a. 1988, 108, N2

Al_n^+

($n=2 \div 7$)

($\vartheta_0, \vartheta, A.P.$)

1987

5 Б4053. Индуцированная столкновениями диссоциация кластерных ионов: фрагментация исходных кластеров, энергии связи и структура кластеров $\text{Al}_2^+ \text{--} \text{Al}_7^+$. Collision-induced dissociation of aluminum cluster ions: fragmentation patterns, bond energies, and structures for $\text{Al}_2^+ \text{--} \text{Al}_7^+$. Hanley Luke, Ruatta Stephen A., Anderson Scott L. «J. Chem. Phys.», 1987, 87, № 1, 260—268 (англ.)

Для исследования физ. св-в и структуры ионных кластеров создана установка, включающая источник ионизированных кластеров от Al_2^+ до Al_7^+ , получаемых распылением тв. мишени, камеру охлаждения Кл в столкновениях с атомами гелия в ионной ловушке, селекцию по массам с помощью фильтра Вина, систему ионопроводов, камеру столкновения и квадрупольный масс-фильтр. С помощью этой установки измерены ф-ции возбуждения р-ции $\text{Al}_n^+ + \text{Xe} \rightarrow \text{Al}_m^+ + \text{Xe}$, где $m < n$, а также ф-ции возбуждения для $m = 1 \text{--} 6$ при

X. 1988, 19, N 5

всех n . Обнаружено, что р-ции Al_7^+ с Хе обладают более высоким порогом, чем р-ции с участием Кл с $n > 7$, а каналами с самыми низкими порогами являются р-ции с образованием Al^+ или Al_{n-1}^+ . Точные значения пороговых энергий определялись при помощи интеграла свертки распределения по энергии и простой формой ф-ции возбуждения $\sigma(E) = A(E - E_0)^\alpha / E^\beta$, где A , α и β — подгоночные параметры. Отмечено, что доминирующим каналом диссоциации является потеря одного атома Al, что указывает на компактные структуры исследованных Кл, согласующиеся со структурами нейтр. кластеров Al_2 — Al_6 . Стабильности Кл в отношении столкновит. диссоциации уменьшаются в ряду $\text{Al}_7^+ \gg \text{Al}_6^+ > \text{Al}_{3,5}^+ > \text{Al}_2^+ > \text{Al}_4^+$. Определены энергии диссоциации Кл, которые оказались выше величин, рассчитанных из теорет. моделей. Экспериментально определенные Пт ионизации Кл Al_2 — Al_6 также несколько выше теоретических.

Л. Ю. Русин

использовано

Al_n^+

$n=2, 3, \dots 7$

(No)

1987

107: 223550h Collision-induced dissociation of aluminum cluster ions: fragmentation patterns, bond energies, and structures for $\text{Al}_2^+ - \text{Al}_7^+$. Hanley, Luke; Ruatta, Stephen A.; Anderson, Scott L. (Dep. Chem., State Univ. New York, Stony Brook, NY 11794-3400 USA). *J. Chem. Phys.* 1987, 87(1), 260-8 (Eng). Collision-induced dissociation (CID) of cooled, mass-selected Al cluster ions (Al_{2-7}^+), by Xe, was studied over an energy range of 0-10 eV (center-of-mass). The product branching ratios and cross-section magnitudes were used to derive qual. structural information about the cluster ions. The fragmentation thresholds were analyzed to yield dissociation energies, approx. ionization potentials, and further structural information about the cluster ions and their neutral counterparts. Cluster stabilities ranged from 0.85 ± 0.40 eV for Al_4^+ to 2.25 ± 0.70 eV for Al_7^+ . The results provided a stringent test for existing calcns. on Al_{2-6} .

C.A. 1987, 107, n 24

Al₃

1987

5 Д63. Поверхности потенциальной энергии для низколежащих состояний тримера алюминия. Potential energy surfaces of low-lying states of the aluminum trimer. *Pacchioni Gianfranco, Fantucci Piercarlo, Koutecký Jaroslav.* «Chem. Phys. Lett.», 1987, 142, № 1—2, 85—91 (англ.)

Неэмпирическим методом ССПМО ЛКАО исследовано электронное строение Al₃ в низколежащих состояниях ⁴A₂, ⁴B₁, ²B₁, ²A₁ и ²B₂ (симметрич. C_{2v}). Обнаружено, что основным является состояние ⁴B₁ (равнобедренный треугольник с углом при вершине 55,7°; энергия диссоциации 243 кДж/моль). Состояния ³A₂, (71,2°, 243 кДж/моль), ²B₁ (равносторонний треугольник, 236 ккал/моль) и ²A₁ (равносторонний треугольник, 233 кДж/моль) являются почти вырожденными. Проведен частичный колебат. анализ. Сделан вывод, что молекула является очень гибкой и способной к псевдовращению (барьер <10 кДж/моль), аналогично тримерам щелочных металлов и Si.

В. Л. Лебедев

φ 1988, 18, N5

Al n

n=2-6, 13

M.N.

011.27734

1987

2Д160. Небольшие кластеры Al. II. Структура и связь в Al_n ($n=2-6, 13$). Small Al clusters. II. Structure and binding in Al_n ($n=2-6, 13$). Pettersson Lars G. M., Bauschlichre Charles W., Jr., Halicioglu Timur. «J. Chem. Phys.», 1987, 87, № 4, 2205—2213 (англ.)

Неэмпирическим методом ССП МО ЛКАО с использованием псевдопотенциала, описанного ранее (см. ч. 1, реф. 2Д159), в базисе гауссовых ф-ций $5s5p2d/3s3p2d$ с учетом взаимодействия одно- и двукратновозбужденных конфигураций и поправкой на высшие конфигурации, а также по схемам неограниченного конфигурац. взаимодействия и связанного парного функционала исследовано электронное строение Al_n , $n=2-6, 13$ в различных геометрических и электронных состояниях. Приведены равновесная геометрия, энергии атомизации. Обнаружено, что для $n=2-5$ наиболее стабильны плоские структуры, для $n=6$ — октаэдрическая, для $n=13$ — икосаэдрическая и для $n=6, 13$ плоские струк-

φ. 1988, 18, № 2

туры близки по энергии к оптимальным. Обнаружено, что данные упрощенного описания с использованием потенциалов двух- и трехчастичных взаимодействий хорошо согласуются со структурными и энергетич. данными полных расчетов.

В. Л. Лебедев

ант.
онан

Al_n^+

$$n = 3 \div 26$$

(9)

1987

106: 220172e Collision induced dissociation of metal cluster ions: bare aluminum clusters, Al_n^+ ($n = 3-26$). Jarrold, Martin F.; Bower, J. Eric; Kraus, J. S. (AT and T Bell Lab., Murray Hill, NJ 07974 USA). *J. Chem. Phys.* 1987, 86(7), 3876-85 (Eng). The collision induced dissociation was studied of Al clusters, Al_n^+ ($n = 3-26$), by Ar, at a center of mass collision energy of 5.25 eV, using a low energy ion beam app. Product branching ratios and collision induced dissociation cross sections are presented and discussed. The main product is Al^+ for the smaller clusters and Al_{n-1}^+ for the larger ones. The cross sections rise to a peak at $\text{Al}_6^+ - \text{Al}_9^+$ and then decrease with increasing cluster size. Cross sections for Al_7^+ , Al_{13}^+ , Al_{14}^+ , and Al_{23}^+ are significantly smaller than their neighbors. A crude kinetic model is used to derive approx. cluster ionization potentials from the product branching ratios. The IPs (ionization potentials) initially rise with cluster size, peak at Al_6 and then decrease. The IP of Al_7 is particularly low and there is a sharp drop in IP at Al_{14} where the IP falls below that of the atom. The results suggest that the dissociation energies increase for the larger clusters and there is evidence that Al_7^+ , Al_{13}^+ , Al_{13}^+ , Al_{14}^+ , and Al_{23}^+ have enhanced stability. The results are compared to the predictions of the

C.A. 1987, 106, N26

electronic shell model which can account for some of the results
predicts addnl. features which are not obsd.

Al_n^+

Om. 29181

1987

($n=3-26$)

13Б4172. Детальное изучение реакций между селектированными по размеру ионными кластерами алюминия, Al_n^+ ($n=3-26$), и кислородом. A detailed study of the reactions between size selected aluminum cluster ions, Al_n^+ ($n=3-26$), and oxygen. J. M. F. Jarrold, Bower J. E. *J. Chem. Phys.*, 1987, 87, № 10, 5728—5738 (англ.)

С помощью сдвоенного квадрупольного масс-спектрометра с электростатич. энергетич. анализатором изучены р-ции ионных кластеров Al_n^+ ($n=3-26$) с O_2 при энергии соударений 1,2 и 4,2 эВ. Металлич. кластеры Al_n получали методом импульсного лазерного испаре-

Х. 1988, 19, N 13.

ния алюминиевого стержня в потоке гелия, охлаждаемого до т-ры -130°C . Ионизация кластеров осуществлялась электронами с энергией 2—3 кэВ. Получено, что полные сечения р-ции растут с увеличением числа атомов n примерно в соответствии с размером частиц. Основными продуктами являются Al_{n-4}^{+} , Al_{n-5}^{+} , Al_{n-6}^{+} и Al^{+} . Наличие кислорода зарегистрировано лишь в очень небольшом кол-ве продуктов. Предполагается, что р-ция идет через хемосорбцию O_2 с последующим быстрым отрывом двух молекул Al_2O . Осколок Al_{n-4}^{+} может далее диссоциировать, давая Al_{n-5}^{+} , Al_{n-6}^{+} и Al^{+} . Из энергетич. расчетов по теории Райса—Рамспергера—Касселя—Маркуса делается вывод, что молекулы Al_2O уносят с собой значит. часть энергии.

Н. И. Бутковская

Al₃

1987

Э 10 Б1036. Поверхности потенциальной энергии низколежащих состояний тримера алюминия. Potential energy surfaces of low-lying states of the aluminum trimer. Pacchioni G., Fantucci P., Koutecký J. «Chem. Phys. Lett.», 1987, 142, № 1—2, 85—91 (англ.)

Методами ССП и конфигурац. взаимодействия (КВ) с учетом всех одно- и двукратных возбуждений относительно нескольких исходных конфигураций рассчитаны Пв потенциальной энергии низколежащих состояний кластера Al₃. Использован базис ГФ [4s4p/2s2p], дополненный диффузными s и p ф-циями и поляризац. d-ф-цией. Согласно расчету КВ 4 нижние электронные состояния, ⁴B₁, ⁴A₂, ²B₁ и ²A₁ почти вырождены. Равновесная геометрия кластера в состояниях ⁴B₁ и ⁴A₂ отвечает равновесному треугольнику с углами 55,7 и 71,2° соотв., а в состояниях ²B₁ и ²A₁ — почти равностороннему треугольнику. Основным состоянием найдено ⁴B₁, однако Пв потенциальной энергии квартетных

м.п.

X.1988, 19, N10

состояний пересекаются и разность энергии между состояниями весьма мала. Сделан вывод, что кластер является нежесткой системой, в к-рой возможно псевдовращение с потенциальным барьером в 10 кДж/моль.

Н. В. Харчевникова

Al

($n=2-6$)

М-Л.

ОТ 2+734

1987

5 Б1028. Малые кластеры Al. II. Структура и связь в Al_n ($n=2-6,13$). Small Al clusters. II. Structure and binding in Al_n ($n=2-6,13$). Pettersson Lars G.M., Bauschlicher Charles W., Jr., Halicioglu Timur. «J. Chem. Phys.», 1987, 87, № 4, 2205—2213 (англ.)

Методами ССП и конфигурац. взаимодействия оптимизированы структурные параметры и вычислена относит. стабильность кластеров Al_n ($n=2-6$). Аналогичные расчеты для икосаэдрич., гексагон., гранецентр. и двух плоских конформаций кластера Al_{13} проведены в приближении ССП. Использованы расширенные базисы гауссовых ф-ций. Наиболее низкоэнергетич. структуры кластеров Al_4 и Al_5 найдены плоскими. Основное состояние Al_9 соответствует октаэдрич. структуре. В кластере Al_{13} основное состояние отвечает икосаэдрич. структуре, а электронные состояния кластера с плоской структурой имеют низшие энергии возбуждения. Структура и стабильность кластеров исследованы в

X. 1988, 19, N5

рамках параметризованного метода, использующего двух- и трехчастичные Пт взаимодействия Леннарда—Джонса и Аксильрода—Теллера. Результаты этих исследований хорошо согласуются с данными неэмпирических расчетов.

И. А. Тополь

при-

Al₃

(Om. 28198) 1987

108: 62877y Potential energy surfaces of low-lying states of the aluminum trimer. Pacchioni, Gianfranco; Fantucci, Piercarlo; Koutecky, Jaroslav (Dip. Chim. Inorg. Metall., Centro CNR, Univ. Milano, 20133 Milan, Italy). *Chem. Phys. Lett.*, 1987, 142(1-2), 85-91 (Eng). The potential energy surfaces for the low-lying states of the Al₃ mol. were investigated by Hartree-Fock CI calens. Four states are candidates for the ground state: an acute isosceles triangle ⁴B₁, an obtuse isosceles triangle ⁴A₂, and two nearly equilateral triangles ²B₁ and ²A₁. The ground state is ⁴B₁, but because of the very small energy sepg. the 4 states they can be considered as nearly degenerate. A partial vibrational anal. is carried out considering only the totally sym. modes of the C_{2v} point group in order to show the different nature of the corresponding potential energy surfaces.

NONREFL. KPLB.
Huzekr. 808.
COCMORPHISM

c.A.1988, 108, n8

Al_n

Om. 27734 }

1987

$n = 2 \div 6, 13$

107: 184025u Small aluminum clusters. II. Structure and binding in $(\text{aluminum})_n$ ($n = 2-6, 13$). Pettersson, Lars G. M.; Bauschlicher, Charles W., Jr.; Halicioglu, Timur (Ames Res. Cent., NASA, Moffett Field, CA 94035 USA). *J. Chem. Phys.* 1987, 87(4), 2205-13 (Eng). The structure and stability were studied of Al clusters contg. up to 6 atoms using correlated wave functions and extended basis sets. The lowest energy structure is planar for Al₄ and Al₅, but 3 dimensional for Al₆. The icosahedral, hcp., fcc., and 2 planar structures of Al₁₃ were considered at the SCF level. The lowest energy structure is the icosahedron, but the planar structures are fairly low lying even in this case. A simplified description using 2- and 3-body interaction potentials agrees well with the ab initio structures and binding energies.

copykneya
u cnafenH
neop. pacem

c.A.1987, 107, n20

Al₃

О.п. 29666

1988

- 18 Б1210. Спектроскопические исследования тримера алюминия, охлажденного в струе. Spectroscopic studies of the jet-cooled aluminum trimer. Fu Z., Lemire G. W., Hamrick Y. Mi, Taylor S., Shui Jin-Cheng, Morse M. D. «J. Chem. Phys.», 1988, 88, № 6, 3524—3531 (англ.)

Методом резонансной двухфотонной ионизации с последующим масс-спектрометрическим детектированием образующихся ионов исследованы молекулы Al_3 , образующиеся при лазерном испарении алюминия в импульсную сверхзвуковую струю. Спектр Al_3 наблюдался в обл. 520—610 нм с резким обрывом при $19\ 378\ \text{см}^{-1}$. Верхний предел энергии диссоциации $D_0(\text{Al}_2-\text{Al})$ оценен в 2,40 эВ. Спектр представляет собой несколько прогрессий полос, связанных в основном с симм. вал. кол. на фоне квазинепрерывного поглощения, интенсивность которого монотонно возрастает в коротковолновой обл. Поскольку абс. колебат. нумерация полос не определена, предположено, что первая из наблюдаемых полос,

И.П.

X. 1988, 19, N 18

16 609, 9 см^{-1} есть переход 0_0^0 и в этом предположении из анализа колебат. структуры получены след. молек. постоянные (в см^{-1}): $v_e = 16434,23$, $\omega_1' = 273,17$, $x_{11}' = -1,29$, $\omega_2' = 204,74$, $\omega_1'' = 132,60$. Для каждой из полос определено время жизни τ . В прогрессиях величина τ монотонно убывает с ростом верхнего колебат. квантового числа и лежит в пределах ~ 20 —100 мкс. Необычно большое время жизни (24—35 мкс) квазиконтинуума указывает, что он связан с прямым возбуждением в обл. потенциальной Пв возбужденного электронного состояния сильно искаженной по отношению к потенциальной Пв основного электронного состояния.

В. М. Ковба

3) σ_F
— 1F

Al_n^-

1988

(PFC)

109: 179641d Photoelectron spectroscopy of jet-cooled aluminum cluster anions. Gantefor, G.; Gausa, M.; Meiws-Broer, K. H.; Lutz, H. O. (Fak. Phys., Univ. Bielefeld, D-4800 Bielefeld, 1 Fed. Rep. Ger.). *Z. Phys. D: At., Mol. Clusters* 1988, 9(3), 253-61 (Eng). Al_n^- clusters were produced by laser vaporization without addnl. ionization and cooled by supersonic expansion. UPS from mass-identified anion bunches ($n = 2-25$) were detached by laser light ($\hbar\nu = 3.68$ eV) and underwent energy anal. in a magnetic bottle-type time-of-flight spectrometer. The measurements provided information about the electronic excitation energies from ionic ground states to neutral states of the clusters. In contrast to bulk Al these cluster UPS partially had resolved bands which originate from low-lying excited bands. For small clusters, esp. the Al_2^- and Al_3^- , quantum chem. calcns. were compared to the measurements. The electron affinity size dependence of larger clusters showed evidence for shell effects.

C.A. 1988. 109, N 20.

Al_n

1988

109: 27858s A mass spectrometric study of small aluminum clusters formed by a single-state free-jet expansion. Hawley, J. H.; Ficalora, P. J. (Cent. Integr. Electron., Rensselaer Polytech. Inst., Troy, NY 12180-3590 USA). *J. Appl. Phys.* 1988, 63(3), 979-80 (Eng). Small Al_n clusters ($n \leq 6$) formed in a free-jet expansion were obsd. Species of $n > 2$ have never been obsd. above a Knudsen cell by mass spectrometry. Since the pressure of the Al vapor in the crucible is subsatd., a heterogeneous nucleation mechanism is proposed.

n≤6

C. A. 1988, 109, NY

Aln

1988

109: 27906f Heterogeneous formation of small aluminum clusters.
Hawley, J. H.; Ficalora, P. J. (Cent. Integr. Electron., Rensselaer Polytech. Inst., Troy, NY 12180-3590 USA). *J. Appl. Phys.* 1988, 63(8, Pt. 1), 2884-5 (Eng). The authors have previously reported that small aluminum clusters (Al_n ; $n \leq 6$) were obsd. in a free jet expansion through a graphite nozzle. The length and the diam. of that nozzle was 1.5 mm. The results of those expts. led them to postulate that the clusters formed as the result of a heterogeneous process. Expts., utilizing a W nozzle with a 1.5 mm length and diam. showed no cluster formation. Further, expts. using a graphite nozzle with a larger surface area (1.5 mm diam, 48.0 mm length) produced clusters with $n \leq 10$. These results are presented in support of a heterogeneous formation process.

Opposite above
relating.

C.A. 1988, 109, N 4

1988

fl_n

3 ≤ n ≤ 10

Jug Karl, Schleff
Hans Peter, et al.

nuop.
pačrēm
(cūrykū.
Li Mepreū.)

J. Comput. Chem.
1988, 9(8), 803-9.

(cev. Si_N; ")

Al_3

1988

Rodger Alison,
Johnson Brian F. G.

meop.
paerim

Inorg. Chim. Acta

1988, 146 (1), 37-53.

(crys. Al_2 ; II)

Fly

1988

Rodger Alison,
Johnson Briar F.G.

meop.
paerem

Inorg. Chim. Acta
1988, 146 (1), 37 - 53.

(cees. Al_2 ; II)

Al_5

1988

Rodger Flisar,
Johnson Brian F. G.

met.
paerim

Inorg. Chem. Acta
1988, 146 (1), 37-53.

( Al_2 ; III)

Al₆

1988

Rodger Alison,
Johnson Brian F. G.

meop.
pacem

Inorg. Chim. Acta
1988, 146 (1), 37-53.

(ces. Al₂; $\frac{1}{11}$)

Al3

(AM 29337)

1988

Tse J.,

арсоги. 4
мелкое
возбужден-
ное состоян.
тие. pacem

J. Mol. Struct. Theo-
chem., 1988, 165,
N 1-2, 21-35.



Al_n

1989

KLACMEYER

111: 160710v Energy barriers and structural transitions of small aluminum clusters. Halicioglu, T. (Dep. Mater. Sci. Eng., Stanford Univ., Stanford, CA 94305 USA). *Z. Phys. D: At., Mol. Clusters* 1989, 12(1-4), 73-5 (Eng). Energy barriers between low-lying configurational states were calcd. for several small Al clusters. Calcns. were carried out considering a model potential comprising 2- and 3-body interactions. Parameters used in this potential energy function were evaluated from fits to high-level ab-initio calcns. for Al clusters. Energy barriers sep. low-lying configurations were in varying heights. The results indicate that isomeric transformations between several low-lying high-symmetry forms of small Al clusters are quite likely and may take place at relatively low temps.

COPYRIGHTED

c.A.1989, 111, N18

Alex

$x = 4-6$

1989

? 10 Д56. Конфигурации изомеров и седловых точек для небольших кластеров Al. Isomers and saddle point configurations of small Al clusters / Halicioglu T., Patmuk H. O. // Surface Sci.— 1989.— 215, № 1—2.— С. 272—280.— Англ.

С помощью модельной потенц. ф-ции, параметры которой откалиброваны по данным точных неэмпирич. расчетов Al_2 и Al_3 , исследованы различные структуры и седловые точки для кластеров Al_x , $x=4-6$. Обнаружено, что для указанных систем наиболее стабильны ромбическая, плотноупакованная и треугольная плотноупакованная структуры соответственно. При этом энергетический активационный барьер для перехода от трехмерной структуры к двумерной для $x=5$ и 6 оказывается больше, чем для перехода между двумя трехмерными структурами, даже если двумерная структура стабильнее трехмерной. В целом активационные барьеры переходов между высокосимметричными трехмерными структурами малы, что указывает на возможность изомеризации в газовой фазе при низких температурах.

В. Л. Лебедев

сб. 1989, № 10

Al_n^+

($n=7 \div 17$)

Δ_0

1989

10 Б4456. Кинетика фотодиссоциации кластерных ионов алюминия. Определение энергий диссоциации кластеров.—Photodissociation kinetics of aluminum cluster ions: Determination of cluster dissociation energies / Ray U., Jarrold M. F., Bower J. E., Kraus J. S. // J. Chem. Phys.—1989.—91, № 5.—С. 2912—2921.—Англ.

В области энергий фотонов $h\nu = 1,88—6,99$ эВ зарегистрированы спектры фотодиссоциации (ФД) выделенных по массе кластерных ионов (КИ) Al_n^+ ($n = 7—17$), полученных из факела плазмы импульсного лазерного испарения Al-мишени под действием излучения 308 нм эксимерного лазера на XeF в потоке буферного газа He. Измерены также времена жизни фотовозбужденных КИ. Наблюдавшиеся продукты ФД КИ идентичны продуктам изучавшейся ранее столкновительно-индукционной диссоциации этих же КИ, хотя имеются малые различия в распределениях продуктов. Наиизнейшей энергией диссоциации КИ Al_7^+ и Al_9^+

Х. 1990, № 10

обладает канал распада на $\text{Al}^+ + \text{Al}_{n-1}$, а для КИ Al_8^+ и $\text{Al}_{10}^+ - \text{Al}_{17}^+$ таким каналом является распад на $\text{Al}_{n-1}^+ + \text{Al}$. В предположении отсутствия активации барьера для диссоциации отсюда следует, что при $n=6$ и 8 Пт ионизации Al_n выше, чем Пт ионизации Al , а при $n=7$ и $9-16$ имеет место обратное соотношение. Путем сравнения измеренных времен жизни фотовозбужденных КИ с результатами расчетов по теории Райса — Рамспергера — Касселя — Маркуса определены энергии диссоциации КИ. Они увеличиваются с ростом n , обнаруживая значит. осцилляции при $n=7-8$ и $n=13-15$. Из этих результатов и лит. данных для КИ меньших размеров определены когезионные энергии КИ. При $n>6$ эти величины находятся в хорошем согласии с предсказаниями на основе простой модели, включающей объемную когезионную энергию и поверхн. энергию кластера. Библ. 44.

В. Е. Скурат

ации.
изуч

Kracmepk ^{Aln} | Om 32159 | 1989

Al
(Uematsu) Pettersson L.F.M.,
Bauschlicher Ch.W., Z.,
meopen · Chen · Phys. , 1989,
raven · 131, N 2, 3, 267 -
empykn. (re) 279.

Al₇

[Mn 33367]

1989

(Al₇-Al₁₇) Ray U., Garrold M.F.;
et al.,

Do J. Chem. Phys. 1989,
91, N5, ● 2912 - 2921

Al_2

Om. 34 666

1990

(g)

Harrington J.E., Weisshaar
et al J.C.

Al_2^+

J. Chem. Phys. 1990, 93,

(X_2Z_9^+) N1, 854-855

Adiabatic ● ionization

Potential of Al_2 and vibrational spectrum of the $X^2\bar{S}g^+$ state of Al_2^+ .

Al_n
(n < 17)

1990

do

113: 123632s Photodissociation of metal cluster ions. Dissociation energies and optical spectroscopy. Jarrold, Martin F.; Ray, Urmie; Bower, J. Eric; Creegan, Kathleen M. (AT and T Bell Lab., Murray Hill, NJ 07974 USA). *J. Chem. Soc., Faraday Trans.* 1990, 86(13), 2537-43 (Eng). Dissocn. energies and optical absorption spectra of metal clusters were measured from photodissocn. studies with a tunable dye laser. The dissociation energies of Al clusters with up to 17 atoms were detd. from measurements of the dissociation rates of photoexcited clusters. The dissociation energies show an overall increase with cluster size, but there are large oscillations around the electronic shell closings. The measured dissociation energies are in poor agreement with the results of a no. of recent theor. calcns., all of which underestimate the binding energies. Optical absorption spectra were recorded for Cu clusters by photodissocn. The spectrum for Cu₄⁺ contains 10 electronic transitions, most of which show vibrational fine structure. Some of the transitions can be correlated with an interband transition in bulk Cu, suggesting that the incipient band structure of the bulk is apparent even in a cluster contg. as few as 4 atoms.

⑦ ⑧

C.A. 1990, 113, N 14



Cu₄⁺ (MerkmpOH)
Cukmp

Al₃

Ом 34334

1990

1 Д87. Стабильность и поверхности потенциальной энергии трех низколежащих электронных состояний Al₃. Stability and potential energy surface of the three low lying electronic states of Al₃ / Tse John S. // J. Chem. Phys.— 1990.— 92, № 4.— С. 2458—2494.— Англ.

С помощью теории возмущений 2-, 3- и 4-го порядков рассчитаны поверхности потенц. энергии электронных состояний 2A_1 , 4A_2 и 4B_1 молекулы Al₃. Найдены параметры равновесной геометрич. конфигурации, частоты колебаний и спектроскопич. постоянные для низших состояний 2A_1 и 4A_2 , которые являются связанными, в то время как состояние 4B_1 является переходным состоянием для псевдовращения. Расчеты, проведенные при оптимизированных значениях геометрич. параметров методом связанных кластеров с учетом одно- и трехкратных замещений, предсказывают следующий порядок стабильности этих состояний: $^2A_1 \approx ^4A_2 < ^4B_1$.

С. А. Богданова

*стабильность
переходные
параметры
конфигурации*

Ф. 1991, № 1

Al_n

$n < 80$

y.
J)

1990

113: 65501k Electronic shell structure of Group IIIA metal atomic clusters. Schriver, Kenneth E.; Persson, John L.; Hones, Eric C.; Whetten, Robert L. (Solid State Sci. Cent., Univ. California, Los Angeles, CA 90024-1569 USA). *Phys. Rev. Lett.* 1990, 64(21), 2539-42 (Eng). Ionization potentials of Al_n and In_n clusters ($n < 80$) in supercooled beams have been measured by photoionization spectroscopy. The abrupt leveling near $n = 5$ of the initial linear increase in ionization potentials and the subsequent gradual approach to the classical metallic sphere model are consistent with a simple picture of s-p band hybridization. For $n > 6$, there is clear evidence of electron-shell filling, yet substantial deviations from shell-model predictions remain. Crystal-field effects are considered the most probable source of symmetry breaking and give insight to cluster structure.

(+) \otimes

In_n



$n < 80$

C.A. 1990, 113, n 8

Al₃

Ом 34334

1990

23 Б1034. Стабильность и поверхность потенциальной энергии для трех низколежащих электронных состояний Al_3 . Stability and potential energy surface of the three low lying electronic states of Al_3 / Tse John S. // J. Chem. Phys.— 1990.— 92, № 4.— С. 2488—2494.— Англ.

Различными вариантами теории возмущений Мёллера—Плессета с орбиталиями неограниченного метода Хартри—Фока с учетом экстраполяц. поправок определены геометрич. конфигурации стационарных точек для трех низших состояний молекулы Al_3 : $^2\text{A}_1$, $^4\text{A}_2$ и $^4\text{B}_1$. Во всех трех случаях равновесные конфигурации — треугольные симметрии C_{2v} с углом 54—75° и стороной 2,6—2,9 Å. В наилучшем приближении (метод связанных кластеров с базисом [6s5p2d1f]) энергия первого квартетного состояния $^4\text{A}_2$ выше энергии основного состояния $^2\text{A}_1$ на 0,92 ккал/моль, а энергия след. состояния $^4\text{B}_1$ еще на 5,92 ккал/моль выше. После ап-

X. 1990, N 23.

проксимации рассчитанных точек на потенциальных ПВ полиномами от внутр. координат определены квартичные силовые поля. Найдено, что колебат. спектр Al_3 д. б. существенно разным для состояний 2A_1 и 4A_2 (состояние 4B_1 отвечает седловой точке). Обсуждены причины, приводящие к разным заключениям о мультиплетности основного состояния Al по данным о спектрах ЭПР в матрицах и по магнитному отклонению сверхзвукового пучка.

А. В. Немухин



Al

1991

(n ≤ 55)

115: 263829c Structure and dynamics of aluminum clusters.
Bernholc, J.; Yi, Jae Yei; Oh, Dirk J.; Sullivan, D. J. (Dep. Phys.,
North Carolina State Univ., Raleigh, NC 27695-8202 USA). Mater.
Res. Soc. Symp. Proc. 1991, 206(Clusters Cluster-Assem. Mater.),
209-20 (Eng.). The energetics and structures of metallic clusters
contg. up to 55 atoms are studied by the Car-Parrinello (quantum-mol.
dynamics) method with Al chosen as a paradigm. The structural
energy differences between small cluster (icosahedral) and bulk (fcc)
structures are surprisingly small, indicating that the icosahedron-fcc
structural transition can occur very early in Al clusters. The
computed IPs and EAs differ by less than 0.1 eV for weakly annealed
cuboctahedral and icosahedral clusters, making the structural
identification on the basis of IP and EA measurements very difficult.
The quantum-mech. results are also used to develop a classical
potential for long-time mol. dynamics simulations of large clusters.

IP, Ae,
cnyknepa
pacem

C.A. 1991, 115, N24.

Al_4^+

1991

Boldyrev A.-I., Schleyer
Paul V. R.

$\{\epsilon, <, \dot{\nu}\},$

J. Am. Chem. Soc.

Do

1991, 113 (24), 9045-

pacem

● 9054

(see $\text{Al}_3\text{O}^{(III)}$)

Al_3^+ Boldyrev A.I., 1991
Schleyer Paul V.R.

$\varrho_e < \varrho_i$, cf. Am. Chem. Soc. 1991,
113(24), 9045-9054.

Do pacem

(Cell.  Al_3O ; III)

Al_R^-

(om. 35344)

1991

$n=13$

Nakajima A, Kishi T,
et al.,

Chem. Phys. Lett.,
1991, 177, N3, 297-300

Mass distributions of alkeni-

num negative cluster
ions and their binary
cluster ions mixed with
a carbon atom.

AlP

1998

(9)

(алюминий
лазерное
испарение)

117: 76923h Production of metal cluster beams by laser vaporization. Pellarin, M.; Vialle, J. L.; Lerme, J.; Valadier, F.; Baguenard, B.; Blanc, J.; Broyer, M. (Lab. Spectrom. Ionique Mol., Univ. Claude Bernard, Lyon I, F-69622 Villeurbanne, Fr.). *J. Phys. IV* 1991, 1(C7, Int. Conf. Laser M2P, 2nd, 1991), C7/725-C7/728 (Eng). Using laser vaporization technique and std. time-of-flight (TOF) spectrometric methods, ionization potentials (IP) of Al and Fe clusters were measured in extensive size ranges.

⑦ Fe_n
⑧

C.A. 1992, 117, n8

Al_n
 Al_n^+
 Al_n
 $(n \leq 6)$

1991

17 Б1037. Влияние вырождения зон на электронную структуру: применение к кластерам алюминия. Effect of the band degeneracy on the electronic structure: Application to the aluminum clusters / Tarento René-Jean, Joyes Pierre // J. Chem. Phys.— 1991.— 95, № 9.— С. 6734—6737.— Англ.

Модифицированным методом Гуцвиллера изучено влияние вырождения зон на электронную структуру димера, описываемого гамильтонианом Хаббарда. Построены кривые зависимости энергии димера от параметра внутриатомной корреляции U и обнаружено, что поведение s -зоны резко отличается от поведения p -, d - и f -зон. Метод распространен на кластеры алюминия Al_n и Al_n^+ ($n \leq 6$). Найдено, что применяемая грубая модель воспроизводит тенденции энергий связи и ионизации, наблюдаемые в неэмпирических расчетах. Переход от синглета к триплету в Al_n происходит при $n=4$.

В. Я. Бессапов

Х. 1992, N 17

1992

Al₁₃Al₅₅

(new paper)

117: 198896x Structural transitions in metal clusters. Bernholc, J.; Yi, Jae Yel; Sullivan, D. J. (Dep. Phys., North Carolina State Univ., Raleigh, NC 27695-8202 USA). *Faraday Discuss.* 1991 (Pub. 1992). 92(Chem. Phys. Small Met. Part.), 217-28 (Eng). The methods for first-principles calcn. of the structure and dynamics of clusters have now progressed to a point where clusters contg. ca. 50 non-transition-metal atoms can be studied. We studied the energetics of structural transformations in 13- and 55-atom Al clusters, which can assume both perfect icosahedral and cuboctahedral structures. Using the Car-Parrinello formalism, we found Al₁₃ has a unique structure, a slightly distorted icosahedron, but Al₅₅ has several inequivalent but energetically nearly degenerate structures. The degeneracy in Al₅₅ is due to the short range of the effective interat. interactions, and should lead to floppiness at finite temps. An accurate procedure for calcg. ionization potentials (E_i) and electron affinities (E_{ea}) within the Car-Parrinello formalism was developed and applied to Al clusters. It appears that at least for some clusters, most notably Al₅₅, E_i and E_{ea} are very similar for different structural models. A formulation and the first tests of a new multigrid-based method for real-space electronic structure calcns. are described. This method should make possible calcns. similar to the above for clusters contg. transition metal and/or first-row atoms.

C.A. 1992, 117, N 20

Ahn

1992

$n = 3 \div 55$

116: 221895m Molecular-dynamics computer simulation of aluminum clusters (Al_n ; $n = 3$ to 55). Empirical many-body potential energy function calculation. El-Bayyari, Z.; Erkoc, S. (Dep. Phys., Middle East Tech. Univ., Ankara, Turk. 06531). *Phys. Status Solidi B* 1992, 170(1), 103-11 (Eng). The structural stability and energetics of Al_n ($n = 3$ to 55) clusters are investigated by using a recently developed empirical many-body potential energy function which contains two- and three-body at. interactions. Mol.-dynamics technique is employed in the simulation. The energetically most stable structures of Al clusters are in compact distorted buckled form.

Маркынська,
Снайдеровськ.,
метод. пакет

C.A. 1992, 116, N 22

Al_n

1992

$$n = 2 + 8$$

MEOPATH · FRICKE
HEINEMANN · KOLB
COCHETTELLA

116: 113855q Electronic structure calculations of small aluminum (Al_n) ($n = 2-8$) clusters. Bastug, T.; Sepp, W. D.; Fricke, B.; Heinemann, D.; Kolb, D. (Dep. Phys., Univ. Kassel, W-3500 Kassel, Germany). *Z. Phys. D: At., Mol. Clusters* 1992, 22(3), 641-4 (Eng). The electronic states of small Al_n ($n = 2-8$) clusters have been calcd. with a relativistic ab-initio MO-LCAO Dirac-Fock-Slater method using numerical at. DFS wave-functions. The excitation energies were obtained from a ground state calcn. of neutral clusters, and in addn. from neg. clusters charged by half an electron in order to account for part of the relaxation. These energies are compared with exptl. photoelectron spectra.

C.-F. 1992, 116, N 12

Mr.

[OM 36855]

1992

Chia Chia-Yen,
Ganteför G., et al.
Ber. Bunsenges. Phys.
Chem. 1992, 96, N 9,
1223-1227.
Photoelectron Spectroscopy

of Clusters and Adsorbates
on Clusters.

Aln

1992

118: 176221s Structure and dynamics of intermediate size aluminum clusters. Debiaggi, S.; Caro, A. (Paul Scherrer Inst., 5232 Villigen, Switz.). *NATO ASI Ser., Ser. C* 1992, 374 (Phys. Chem. Finite Syst.: Clusters Cryst., Vol. 1), 375-80 (Eng). The authors use mol. dynamics with a semiempirical quantum chem. model at a Hartree level of appxrn. to predict the structure of Al_n clusters. The relative simplicity of this model allows us to relax up to few hundred atoms. We find that icosahedral and cuboctahedral symmetries are almost degenerate, but that for the cases where we performed annealing, deeper min. exist without symmetry.

Cryokymya,
MSP. pacem

c.A.1993, 118, n 18

Al₁₄₇

1992

118: 67178n Structural study of aluminum cluster (Al₁₄₇). Debiaggi, S.; Caro, A. (Paul Scherrer Inst., 5232 Villigen, Switz.). *Phys. Rev. B Condens. Matter* 1992, 46(11), 7322-5 (Eng). The energetics and structure of several at. configurations of Al₁₄₇ are studied in the framework of semiempirical quantum chem. via mol. dynamics and simulated annealing. The structures corresponding to energy min. correspond to disordered configurations without symmetry. This result extends recent reports on similar conclusions for Al₁₃ and Al₁₅.

(чтас. к сорук
мнр)

c.A.1993, 118, n8

Al₃

[Om. 37175]

1992

Hannick Y.M., VanZee R.J.,
Weltner W., Jr.,

green

b

meanings

J. Chem. Phys., 1992, 96, N3,
1767 - 1775

Electron-spin 1230  dance and ground

Hartsell the boron and aluminum
timers.

Kaacmijie Al

1992

(0030P)

118: 45918b Structure and bonding in aluminum and gallium clusters. Jones, R. O. (Inst. Festkoerperforsch., Forschungszent. Juelich, D-5170 Juelich, Germany). Lect. Notes Phys. 1992, 404(Nucl. Phys. Concepts Study At. Cluster Phys.), 305-11 (Eng). A review with 11 refs. The geometrical structure is one of the most basic properties of any aggregate of atoms. In principle, it is easy to calc., as one "only" has to find the structure with the lowest total energy. This is seldom practicable, as we must both calc. the energy surfaces and avoid unfavorable min. in them. We outline a method that addresses both problems, and show that it leads to interesting and unexpected results for clusters of aluminum and gallium up to $n = 10$.

Kaacmijie Ga

(+) ~~18~~



C.A. 1993, 118, N6

Al_n

1992

$n = 6, 8, 13, 23, 55$

11S: 67244f A first principles investigation of aluminum clusters: geometries, reactivities, stabilities, and polarizabilities. Pederson, Mark R. (Complex Syst. Theory Branch, Nav. Res. Lab., Washington, DC 20375-50000 USA). *NATO/ASI Ser., Ser. C* 1992, 374(*Phys. Chem. Finite Syst.: Clusters & Cryst.*, Vol. 2), 861-6 (Eng). The local-spin-d. formalism was used to predict equil. geometries, cohesive energies, and electron affinities for a variety of aluminum clusters ($N = 6, 8, 13, 23$, and 55). For a 13-atom cluster, the icosahedral geometry is energetically more stable than the octahedral geometry. In contrast, for the 55-atom cluster, octahedral symmetry is preferred over icosahedral symmetry. Of the moderate sized clusters that were studied, the 13- and 23-atom clusters exhibit large electron affinities.

Copy Kappa,
Ae, Meop. pack

c.A. 1993, 118, N8

Aln

1992

11S: 176229a Measurement of ionization potentials for aluminum (Al_n) and iron (Fe_n) clusters. Pellarin, M.; Vialle, J. L.; Lerme, J.; Valadier, F.; Baguenard, B.; Blanc, J.; Broyer, M. (Lab. Spectrom. Ionique Mol., Univ. Lyon I, 69622 Villeurbanne, Fr.); NATO ASI Ser., Ser. C 1992, 374(Phys. Chem. Finite Syst: Clusters Cryst., Vol. 1), 633-8 (Eng). Using laser vaporization technique and std. Time-Of-Flight (TOF) spectrometric methods, Ionization Potentials (IP) of aluminum and iron clusters have been measured in extensive size ranges. These results are compared with recently published exptl. works. For aluminum clusters, our results are extended to larger sizes and reveal new structures. For both types of clusters, the mass spectra recorded systematically for ionization energy just above the threshold reveal clear structures due to small effects in the ionization potential or in the ionization cross section. These effects are discussed in terms of the self consistent Spherical Jellium Background Model (SJBM).

REACCNEKING.
IT CONGRAT.

(9)

④ ⑤

C.A. 1993, 118, N 18



Fe_n

Al13

1992

Rothlisberger U.,
Andronici W., et al.,

CRYSTALPA, J. Chem. Phys., 1992,
NEOP.
PAIRIN 96 (2), 1248-56

(all. Na₁₃ ; $\overline{11}\overline{1}$)

Al_n

1993

$n = 2 \div 6, 12, 33, 55$

147

ab initio
pacrem

118: 132569f First-principles, local-orbital, density-functional study of aluminum clusters. Yang, Sang H.; Drabold, David A.; Adams, James B.; Sachdev, Amit (Phys. Dep., Univ. Illinois, Urbana, IL 61801 USA). *Phys. Rev. B: Condens. Matter* 1993, 47(3), 1567-76 (Eng). Ab-initio, mol-dynamics simulations, of small aluminum clusters, Al_n of $n = 2\text{--}6$, and 12, 13, 55, and 147, were done by using the d-functional, local-orbital method of O. F. Sankey and D. J. Niklewski (1989). Equil. structures and total energies were calcd., and compared with expt. and the predictions of other calcns. The min. energy structures of Al₁₃ and Al₅₅ were found to be distorted icosahedrons; whereas, that of Al₁₄₇ appeared to be a slightly distorted cubo-octahedron. The d. of vibrational states was calcd. for most of these clusters. Embedded-atom-method calcns. were also done for Al₁₃, Al₅₅, and Al₁₄₇; these calcns. were compared to the ab-initio calcns.

C.A.1993, 118, N14

Al_3

1994

Gonzales N.,
Simons J.

Ceiprakū.
J. Chem. Phys. 1994,
J. ecocēs.,
ab initio
paerēm

(ceip. $Al_3 H$; $\bar{1}\bar{1}\bar{1}$)

Al₁₃

1994

120: 253861w Reactivity of hydrogen with open and closed shell clusters. Khanna, S. N.; Jena, P. (Physics Department, Virginia Commonwealth University, Richmond, VA 23284-2000 USA). *Chem. Phys. Lett.* 1994, 218(4), 383-6 (Eng). By using self-consistent calcns. based on d.-functional theory, the authors demonstrated that clusters with reduced chem. reactivity can be designed by suitably varying their size and compn. Analogous to the rare gas atoms, clusters with closed electronic shells were found to be less reactive to gas mols. such as hydrogen; whereas, those with unfilled shells react strongly. This finding can form the basis for synthesizing a new class of cluster-assembled materials. Calcns. of mol. structures, binding energies, and electronic energy levels were done for Al₁₃, Al₁₂C, Al₁₃H, and Al₁₂CH clusters.

(72) Δ Al_{12}C , Al_{12}CH , Al_{13}H

C-A. 1994, 120, N20

1995

Al_n , Al_n^+

$n=1,5$

Melp. n. 123
C/nylykryy,
C/naf.,
 $\Delta\epsilon, \eta, \chi$

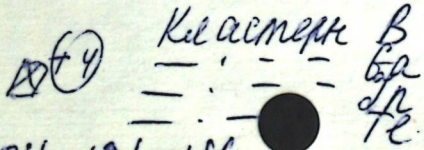
123: 93903t Gaussian density-functional study for small neutral (Al_n), positive (Al_n^+) and negative (Al_n^-) aluminum clusters ($n = 2-5$). Calaminici, Patrizia; Russo, Nino; Toscano, Marirosa (Dipartimento Chimica, Universita della Calabria, I-87030 Arcavacata di Rende, Italy). *Z. Phys. D: At., Mol. Clusters* 1995, 33(4), 281-8 (Eng). The structures and properties of Al_n , Al_n^+ , Al_n^- ($n = 1, 5$) clusters have been investigated by using the Linear Combination of Gaussian Type Orbitals (LCGTO) method, considering Local (LSD) and Non Local (NLSD) Spin D. Approxns. and employing a Model Core Potential (MCP) that allows the explicit treatment of $3s^2$ $3p^1$ valence electrons. For each system different geometrical structures and electronic states have been considered. For Al_3 , Al_3^+ , Al_3^- the most stable geometry proved to be the equilateral triangle (D_{3h}). Al_4 and Al_4^+ prefer the rhombus (D_{2h}) structure, while the corresponding anion prefers the square (D_{4h}) one. The trapezoidal form (C_{2v}) is the most stable isomer for Al_5 , Al_5^+ and Al_5^- clusters. The anal. of vibrational frequencies shows that these structures are min. in the potential energy surface. The binding energies (D_b), the adiabatic ionization potentials (IP) and electron affinities (EA), the chem. potentials or abs. hardnesses (η) and electronegativities (χ) have been computed. Results are in good agreement with the available exptl. data and the previous high level theor. computations.

C.A. 1995, 123, N 8

Kilacmepr Al

1994

121: 187525g Clusters of s²p¹ metals and semiconductors.
Jarrold, M.F. (Dep. Chem., Northwestern Univ., Evanston, IL 60048 USA). *Springer Ser. Chem. Phys.* 1994, 52(Clusters of Atoms and Molecules), 288-314 (Eng). A review with 60 refs. on properties of Group IIIA element (boron, aluminum, gallium, indium, and thallium) clusters.



C.A. 1994, 121, N16

$\text{Al}_{(n)}^{+}$

1994

$n = 2-6$

121: 164355n Stability of charged aluminum clusters. Martinez, Ana; Vela, Alberto (Departamento de Quimica, Universidad Autonoma Metropolitana-Iztapalapa, Distrito Federal, Mex. 09340). *Phys. Rev. B: Condens. Matter* 1994, 49(24), 17464-7 (Eng). An all-electron study on neutral, singly, and doubly charged Al_n clusters ($n = 2-6$) has been carried out within the Kohn-Sham formalism incorporating a gradient corrections to the exchange and correlation energy contributions self-consistently. Results on their equil. geometries, adiabatic and vertical ionization potentials, electron affinities, atomization energies, global hardness, and possible fragmentation channels are presented.

CNAZICBHDCA,

CNPKXKPPA,

Ae, DRAON.

u m g

meop pacem

C.A. 1994, 121, N14

Al₆

[Om. 38192]

1995

Al₁₃

(Kwackner)

Pascal de Sainte Claire,
Billes H. Peslherbe,
and William L. Hase[†],

J. Phys. Chem. 1995, 99,
8147-8161.

Energy Transfer Dynamics in the

Collision - Induced Dissociation
of Al_6 and Al_3 Clusters.

Al₃ · 1996

Li, S.; Van Zee, R. J.;
et al.,

lik &

Mampuu, Chem. Phys. Lett. 1996,
Li, Muykens 262 (3,4), 298 - 302.
MRCM/COCT

(all. B3;  III)

Al₁₃

1997

*ab initio
facilem,
Rudnevill*

✓ 129: 100305d Melting of Al₁₃ cluster: ab initio investigations.
Kanhre, D. G.; Shah, Vaishali; Vichare, Abhijat (Department of Physics, University of Pune, Pune, 411 007 India). *Condens. Matter Theor.* 1996 (Pub. 1997), 12, 441–449 (Eng). Nova Science Publishers, Inc.. The authors used d.-based mol. dynamics to show that a finite-size silver cluster shows 3 distinct regions similar to Lennard-Jones clusters: solid-like, liq.-like, and solid-liq. coexistence.

CA 1998, 129, w8

Al₄

M 38 960 1997

127: 40182h Achieving reliability of calculations for flat potential surfaces in density functional theory: the case of Al₄ and Al₄⁺¹. Martinez, Ana; Vela, Alberto; Salahub, Dennis R. (Dep. Chimie, Univ. Montreal, Montreal, PQ Can. H3C 3J7). *Int. J. Quantum Chem.* 1997, 63(2), 301–311 (Eng), Wiley. Harmonic frequencies obtained by finite-differences from nonlocal d. functional calcns. are presented for the ground states of Al₄ (neutral and cationic). The effect of varying the step size used in the finite-difference evaluation and the influence of the d. convergence threshold are discussed. Potential energy curves along the most important normal coordinate are shown. With these results, we found that for Al₄ the square and the rhombus min. are almost degenerate with each other, while for Al₄⁺¹, the rhombus is more stable and the square is a transition state.

*Di, emycrypta,
mop facies*

C. A. 1997, 127, n 3

Al_7 , Al_{13}

1997

128: 160500c Photoionization mass spectrometric study of neutral bare aluminum clusters and aluminum-carbon mixed clusters. Ni, Guo-quan; Zhou, Ru-fang; Zhai, Hua-jin; Wang, Yu-zhu (Shanghai Inst. Optics Fine Mechanics, Chinese Acad. Scis., Shanghai, Peop. Rep. China 201800). *Chin. Phys. Lett.* 1997, 14(12), 901-904 (Eng), Chinese Physical Society. Photoionization time of flight mass spectra of bare aluminum and aluminum-carbon mixed clusters as well as a variety of oxygen- and oxygen-carbon-adducted aluminum clusters are recorded and assigned. The discontinuities in the mass abundance spectra

71. K
2004mp.
CNP-PR,
POMO UOKU
JAY.

Mass-
spectrap. \square (4) Al_7C

c.A. 1998, 128, N13

Al_3

Al_3^-

Al₃ Al₃⁻
spectroscopy
CCSD(T),
ab initio

Academ
of Chem. Eng.

CS1998, 129, 114

1998

✓ 129: 181625h Ab initio study for the low-lying electronic states of Al_3 and Al_3^- : The photoelectron spectroscopy of Al_3^- . Baeck, Kyoung K.; Bartlett, Rodney J. (Department of Chemistry, Kang-Nung University, Kang-Nung, 210-702 S. Korea). *J. Chem. Phys.* 1998, 109(4), 1334-1342 (Eng), American Institute of Physics. The low-lying electronic states of Al_3 ($^2\text{A}_1, ^2\text{B}_1, ^4\text{A}_2, ^4\text{B}_1, ^2\text{B}_2, ^2\text{A}_1, ^4\text{B}_2, ^6\text{A}_2$) and Al_3^- ($^1\text{A}_1, ^3\text{B}_2, ^3\text{A}_1, ^3\text{A}_2, ^3\text{B}_1, ^5\text{A}_2$) are studied by coupled-cluster methods with a [6s5p2d1f] basis set. The geometries and harmonic frequencies are calcd. by the coupled-cluster single double triple (CCSD(T)) correlation method with frozen core and virtual MOs. The energetic splittings at CCSD(T) geometries are calcd. also by the CCSDT method. The calcd. vibrational frequencies of the obsd. states of Al_3 ($^2\text{A}_1, ^2\text{B}_1$, and $^4\text{A}_2$) and Al_3^- ($^1\text{A}_1$ and $^3\text{B}_2$) are in excellent agreement with exptl. results. Other frequencies of this work are expected to be correct within $\pm 20 \text{ cm}^{-1}$.

4A_2 - 4B_1 (4E) and 2B_2 - 2A_1 (2E) of Al_3 as well as 3B_2 - 3A_1 (3E) and 3A_2 - 3B_1 (3E) of Al_3^- are pairs of min. and transition states on a potential energy surface of a pseudorotation of the corresponding degenerate states. The vertical excitation energies of addnl. states of Al_3 (2E , 4E , 2A_1) and Al_3^- (1E , 1E) are calcd. by the electron-excitation equation-of-motion CC method and the electron-attachment equation-of-motion CC method. The possible processes of ionizations and vibronic transitions are analyzed based on the calcd. results. All features of the recent photoelectron spectroscopic study of Al_3^- are explained consistently. Also the photo-electron signals of electron binding energies of 2.65 and 4.4 eV in earlier expts. correspond to the ionization of the ground state of Al_3^- to higher-lying excited states of Al_3 . The 2 states of the resonant 2-photon ionization expt. are assigned to the lowest quartet state and the 3rd quartet state, 4E 4E , without ambiguity. The anticipated features of 5 more electronic excitations with transition energies of 0.22, 0.69, 0.77, 0.98, and 1.06 eV are discussed.

AlN

1998

Неприм
ческое

Tonov S.P., Kuznetsov N.T.,
et al.,

Russ. J. Coord. Chem.
1998, 24(1), 9-13

(all. Br;  III)

Al₁₄

1998

129: 8823y Structure and electronic properties of Al₁₄ and Al₁₃-Na clusters. Kumar, Vijay (Material Science Division, Indira Gandhi Centre for Atomic Research, Kalpakkam, 603102 India). *Phys. Rev. B: Condens. Matter Mater. Phys.* 1998, 57(15), 8827-8829 (Eng), American Physical Society. Ab initio mol. dynamics simulations on the Al₁₄ cluster show that in the capped icosahedron structure of this cluster, the 3s electrons of the capping Al atom behave more like core electrons, giving rise to an electronic shell closure effect known for simple metal clusters with 40 valence electrons and which we also find for Al₁₃Na. This makes the two clusters magic. Al₁₄ has a higher binding energy than Al₁₃. However, the HOMO-LUMO gap in Al₁₄ is lower than in Al₁₃ whereas in the case of Al₁₃Na it increases. These results are in complete agreement with the observation of a lower ionization potential for Al₁₄ and a higher ionization potential for Al₁₃Na.

ab initio
naive
M. COCAI.

(11) A

C.A. 1998, 129, v1

Al₃

[Dm. 39392]

1998

Al₃-

Kyoung K.B.,

key references.
mekompol.
coconut. J. Chem. Phys., 1998,
109, N.Y., 1334.

Al n

n = 2-23

copyklype,
J - metp
facem

1998

129: 235868k Ionization potential of aluminum clusters. Akola, J.; Hakkinen, H.; Manninen, M. (Department of Physics, University of Jyvaskyla, P.O. Box 35, FIN-40351 Jyvaskyla, Finland). *Phys. Rev. B: Condens. Matter Mater. Phys.* 1998, 58(7), 3601-3604 (Eng), American Physical Society. The structure, electronic structure, and ionization potentials of aluminum clusters of 2-23 atoms are studied with a total energy method based on d.-functional theory. The calcd. adiabatic ionization potentials agree remarkably well with the data from threshold photoionization measurements. The anal. of the results gives insight into hybridization effects in the smallest clusters as well as revealing certain clusters that exhibit a clear jellium-type shell structure. An explanation of the exptl. results in the size region of 12-23 atoms is given in terms of coexisting, competing icosahedral, decahedral, and fcc-based clusters.

C.A. 1998, 129, N 18

Al₅⁻

Al₅

Dm. 40374

2000

Grant D. Feske and
Alexander I. Boldyreva,

J. Chem. Phys., 2000,
113, N13,

5730 - 5733

On the origin



of planarity

in Al_5^- and Al_5 clusters:
The importance of a four-
center peripheral bond



Al_n

2000

Majumder C; et al.,

CNP-PA
 $_{\mu}$

Chem. Phys. Lett.
2000, 323 (5, 6), 393 - 99

Hiernet,
Meopem.
Patrem

(all. $\text{Al}_n \bullet \text{Li}$; III)

H₂

[Om. 41050]

2001

Ashley C. Howe et al.,

J. Chem. Phys., 2001,

115, N10, 4632-4639

M.N.

Al₁₂

2001

*ab initio
pacem*

*neopen. pacem
CNP-Mr,
Cmaf en6H.,
crempa*

(+) fac12



C.A. 2001, 135, N7

135: 97685u Ab initio calculations of closo alane and gallane anions $X@Al_{12}H_{12}^{2-}$ with X atoms of inert gases or halogens inside the icosahedral $[Al_{12}]$ and $[Ga_{12}]$ clusters. Charkin, O. P.; Klimenko, N. M.; Moran, D.; Mebel, A. M.; Schleyer, P. v. R. (Inst. Problem Khim. Fiz., RAN, Chernogolovka, Russia). *Zh. Neorg. Khim.* 2001, 46(1), 120–130 (Russ), MAIK Nauka/Interperiodica Publishing. The authors used the Hartree–Fock and the DFT–B3LYP methods with 6–31G* and 6–311+G** basis sets to calc. geometries, vibrational, magnetic, and energetic characteristics of the title compds. Data are presented on isomers (local min. on potential energy surfaces), potential barriers for the escape of the inert–gas atoms from the cage, vibrational frequencies and IR intensities, and NMR chem. shifts.

2001

F: Aln

P: 3

135:24936 **Atomic clusters - a possible source for novel materials.**

Rao, B. K. Physics Department, Virginia Commonwealth University,
Richmond, VA, USA. Mater. Sci. Eng., A (2001), A304-306 211-
214. in English.

Geometries of neutral and anionic clusters of AlnK and Aln (n = 1 - 5, 12 - 14) have been globally optimized at the first principles level using the d. functional theory and generalized gradient approxn. The electronic structures and electron affinities of these clusters clearly illustrate that the bonding of K with Al13 is different from that in the bulk phase where these elements are immiscible. The observation that two metallic elements Al13 and K are bound by an ionic bond, provides a glimpse into the rich chem. of at. clusters. Finally such clusters have been proposed as the building block for materials with unusual combinations of properties.